

# 陡坡河道之防砂壩上游淤砂坡度探討

## A Discussion on the Upstream Debris Slopes of Sabo Dam in Steep Channels

國立中興大學水土保持學研究所教授

何 智 武

Chih-Wu Ho

### 摘要

防砂壩之主要功能為攔阻砂石及穩定河床，惟其攔砂量之合理計算、壩高與間距之正確選擇，均有賴於壩體上游淤砂坡度之正確推估。防砂壩上游之淤砂坡度，淤滿之後仍然繼續變化，其大小、形態、以及達到穩定之時間，與當地之地文與水文條件有密切關係。據此，本文乃參照國內外現有之文獻，從靜態及動態平衡之基本觀念，探討淤砂坡度之變化形態與各種模式之可靠性，同時列舉今後之研究方向或課題，以期能提出更合理、可靠之淤砂坡度推估模式，做為國內今後防砂壩規劃設計之參考依據。

### Abstract

The major functions of sabo dam are sediment-trap and channel stabilization. But the rational estimation of sediment-trap, proper choice of the dam height and the dam spacing depend on the correct calculation on the upstream debris slope of the sabo dam. This slope will continuously change even after the full-fill of the dam. The magnitude, type and required time to establish stability have relationship with the local conditions of physiography and hydrology. Hence, this paper in accordance with the domestic and foreign existing reports, studies the change, types of debris slope and the reliability of the various mathematical models from the concept of both static equilibrium and dynamic equilibrium. Furthermore, this paper enumerates the directions and themes of investigation in order to find the more rational, reliable debris slope estimating model which can be a reference for domestic sabo dam planning and design.

### 一、前 言

臺灣因受地理環境之限制，河川短促而陡急，加以地質脆弱，每逢颱風暴雨，上游河溪及坡地產生嚴重冲蝕，因而大量泥砂經由河道輸送至下游地區，對當地之水利工程設施及居民生命財產之安全造成莫大威脅。

為減輕上游河道之冲蝕，進而控制泥砂來源，

以保護周圍環境之安全，經常在上游支流上選擇適當地點建造防砂壠。防砂壠之主要功能為攔阻泥砂及穩定河床。為正確推估壠體上方之泥砂堆積量及探討河床穩定之效果，其上游段淤砂坡度之決定，為其先決條件。

由於影響防砂壠上游淤砂坡度之因子衆多，因而欲建立一合理可靠之估算模式，甚為困難。因此，到目前為止，臺灣全省所建造之防砂壠數目，雖已超過 1,400 座，但淤砂坡度之決定，目前仍舊採用傳統之方法，即以原河床坡度之半做為計算之準則。事實上，淤砂坡度不但與原河床坡度有關，與河寬、河床質粒徑、流量、壠高，甚至與曼寧粗糙係數、輸砂量等物理量亦有密切關係。同時，在淤滿之後，坡度仍然繼續變化，且淤砂面呈曲面而非為平面。因此，吾人所需了解者，不僅為淤滿初期之坡度（或稱靜態），同時對其長時間之變化過程（屬動態），以及達呈穩定時之平衡坡度之決定，均為吾人所必須探討者。

有鑑於此，本文乃根據國內外現有之研究文獻，從理論及實用之雙重立場，進行探討，以期對陡坡河道上所建造之防砂壠，其上游淤砂坡度之變化形態，能獲得進一步之了解，同時藉此定出日後之研究方向。

## 二、河床之平衡坡度理論

河床，由於水流之作用，將發生冲淤現象，究竟是冲或是砂，則視河床上之砂粒移動狀況而定。砂粒之是否移動，又取決於水流之推移力是否勝過底床面上之砂粒之阻抗力。設一河段，自上游至下游，雖有輸砂現象發生，但若河床坡度均無變化，則此一坡度即稱為平衡坡度。在平衡坡度下，任一斷面之上、下游段，流入與流出之泥砂量，應該相等。在上述情況下，雖然坡度保持一定，但泥砂仍然有移動或交換現象發生，故此種之平衡坡度，稱為動態平衡坡度。反之，雖有水流，但因其推移力未能超過砂粒本身之阻抗力而無法推動砂粒，因此河床仍然維持原狀不動（即無輸砂現象）。在此情況下之平衡坡度，即稱為靜態平衡坡度。

天然河道，由於流量經常改變，且上游之泥砂生產狀況亦不可能維持不變，因而相距較遠之上下游河段，欲全段或經常保持一平衡坡度，實屬不可能。一般情況為，有時達到近乎平衡之程度，但經過一段時間之後，此一平衡條件將被破壞，此後又

可能再度恢復平衡，然後又被破壞，如此循環變化者居多。因此，對天然河道而言，大致或近乎平衡，亦即河床之上下游河段變化不大，即可視為平衡。

今將靜態及動態平衡坡度之基本理論，分別敘述如下：

### (一) 靜態平衡坡度理論：

從拖曳力理論，作用於某一泥砂顆粒之拖曳力  
爲：

式中， $A$ 為水流對顆粒之作用面積， $\gamma_w$ 為水之比重， $v$ 為水流流速， $k$ 為曳力係數，與顆粒形狀有關。

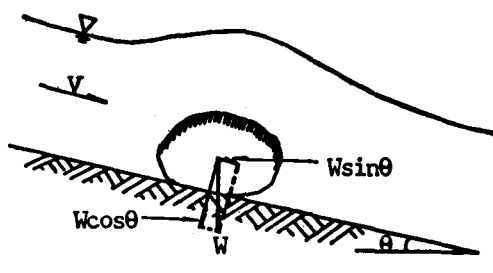


圖 1

又河床上之砂粒抵抗力  $R$  爲：

式中， $f$  為顆粒之摩擦係數， $G$  為顆粒比重， $\frac{1}{\rho}$  為體積（見圖 1）。

爲使泥砂顆粒能夠移動，必須滿足下列條件式

$$F + (G - 1)r_w \nabla \sin\theta \geq R \quad \dots \dots \dots \quad (3)$$

設砂粒開始移動之臨界速度為  $v_c$ ，則可由(3)式求得：

$$v_e = \sqrt{\beta(G - 1)d(f\cos\theta - \sin\theta)} \dots\dots(4)$$

式中， $\beta = 2gA/(kAd)$  ( $d$  為顆粒與水流平行之軸長，或視為球形時即為其粒徑)。

設顆粒爲橢圓形，則可取  $k = 0.8$ ，由此求得  $\beta = 16.7 \text{ (m/sec}^2\text{)}$ ，又  $G = 2.65$ ，則得下列簡化式：

$$v_e = 5.2 \sqrt{d} (\cos\theta - \sin\theta) \quad \dots \dots \dots \quad (5)$$

若再設  $f = 0.6$ ，且假定河床坡度甚緩時（即  $\cos\theta \approx 1$ ， $\sin\theta \approx 0$ ），更可簡化為：

$$v_s = 4.0\sqrt{d} \text{ (m/sec)} \quad (\text{但 } d \text{ 以 m 為單位})$$

今設河床坡度甚緩，即(4)式中之  $\sin\theta \neq 0$ ，且另由 Chézy 公式： $v = C \sqrt{R \sin\theta}$ ，當水流速度（以平均速度  $v$  代表）不超過前述之臨界速度  $v_c$  時，泥砂顆粒不致移動，即河床將不被沖蝕，此時之條件即為：

$$C \sqrt{R \sin\theta} \leq \sqrt{\beta(G-1)d \cdot f \cos\theta} \dots\dots\dots(7)$$

由(7)式求得：

$$\tan\theta = \frac{\beta f(G-1)}{C^2} \left(\frac{d}{R}\right) = k \left(\frac{d}{R}\right) \dots\dots\dots(8)$$

式中， $k = \frac{\beta f(G-1)}{C^2}$ 。若為寬廣渠道（河寬及水深比超過10，即  $B/h > 10$  時）， $R \approx h$ ，此時(8)式可改寫為：

$$\tan\theta = k \left(\frac{d}{h}\right) \dots\dots\dots(9)$$

當河床質顆粒較粗時（臺灣上游河道多屬此類），曼寧粗糙係數  $n$  可用下式表示[1]：

$$n = d_{90}^{1/6}/26 \quad (d_{90} \text{之單位為 m}) \dots\dots\dots(10)$$

因  $C = (1/n)R^{1/6} \approx (1/n)h^{1/6}$ ，故可將  $k$  改為：

$$\begin{aligned} k &= \beta f(G-1)n^2/h^{1/3} \\ &= \beta f(G-1)d_{90}^{1/3}/(26^2h^{1/3}) \dots\dots\dots(11) \end{aligned}$$

若取  $\beta = 16.7 \text{m/sec}^2$ ,  $f = 0.6$ ,  $G = 2.65$ ，則(11)式可簡化為：

$$k = 0.0245(d_{90}/h)^{1/3} \dots\dots\dots(12)$$

此  $k$  值，Valentini 由實驗求得為 0.093，駒村[2]由日本東京大學實驗林場求得為 0.018~0.064，筆者[3]則由臺灣本地山地河道之資料求得為 0.018~0.035，或平均數為 0.023( $d_{90} \approx 0.23 \text{m}$ ,  $h \approx 0.27 \text{m}$ )。

為進一步推算平衡坡度計算公式，先將(9)式寫成：

$$h = k(d/\tan\theta) \approx k(d/S)$$

$$(S = \sin\theta \approx \tan\theta) \dots\dots\dots(9')$$

又將 Manning 公式寫成下列形式：

$$h = n^{3/5}q^{3/5}S^{-3/10} \quad (q = Q/B) \dots\dots\dots(13)$$

由(9')，(13)式消去  $h$  即得：

$$S = k'n^{-6/7}q^{-6/7}d^{10/7} \quad (k' = k^{10/7}) \dots\dots\dots(14)$$

(14)式即為在靜態平衡之條件下，由顆粒臨界起動之觀念導出之靜態平衡坡度公式。又(14)式中之  $k'$  值山口[4]採用 0.03 ( $k$  值取 0.086)，筆者計算求得者為 0.005。

設在坡度為  $S_0$  之河床上建造防砂壩，淤滿後

之壩體上游淤砂坡度為  $S$ ，則由(14)式可求得淤砂坡度與建壩前之原河床坡度比為：

$$\frac{S}{S_0} (= k/k_0)^{10/7} (n_0/n)^{6/7} (Q_0/Q)^{6/7} \cdot (B/B_0)^{6/7} (d/d_0)^{10/7} \dots\dots\dots(15)$$

各符號之足碼“0”代表建壩前之各物理量值。由(15)式可知，影響淤砂坡度之因子有底床粗糙率（粗糙係數）、流量、河寬及泥砂粒徑等。

由於自然河道流量經常改變，河道內堆積之泥砂，不論橫向或縱向，均隨流量大小而改變，何況上游集水區，尚有繼續不斷之泥砂向下游輸送，故靜態平衡甚難獲得。但上游若有健全完善之水土保持設施或有大型水庫，則下游泥砂來源較少及平時之常年流量甚微之河段，當可保持局部之「靜態平衡」。反之，對於上游泥砂來源豐富及常年流量較大之河段，若應用上述靜態理論分析，則不甚合理，此時應改用動態平衡理論分析，方能獲得可靠之結果。據此，對於河床質粒徑較大，且河幅寬窄不甚規則之上游或中游河道，用靜態平衡理論分析，尚稱合宜。

## (二)動態平衡坡度理論：

土屋(Tsuchiya)[5]利用定量水流連續方程式、佐藤・吉川・芦田輸砂公式及阻抗方程式等三種式子求得下列沈淥流量公式：

$$Q_B = \frac{\phi F(\tau/\tau_c) S}{(G-1)(u/u_*)} Q \dots\dots\dots(16)$$

式中  $Q_B$  為沈淥（泥砂）流量， $\phi$  為係數， $F(\tau/\tau_c)$  為佐藤公式中之函數（ $\tau$ ,  $\tau_c$  分別為剪應力及臨界剪應力）， $S$  為河床坡度， $G$  為泥砂比重， $u$  為速度， $u_*$  為剪切速度， $Q$  為流量。

(16)式中， $Q_B$ 、 $Q$ 、 $S$  寫成  $Q_B = q_B \cdot B$ ,  $Q = qB$  ( $B$  為河寬， $q$ ,  $q_B$  分別為單位寬度之流量及輸砂量)， $S = \partial z / \partial x$  ( $z$  為堆砂或淤砂厚度， $x$  為自某點起算之水流方向距離)，且利用沈淥（泥砂）連續方程式聯合求得下式：

$$\frac{\partial z}{\partial t} = \alpha \frac{\partial^2 z}{\partial x^2} \quad (\alpha > 0) \dots\dots\dots(17)$$

式中， $\alpha = \phi F(\tau/\tau_c) q / (1 - \lambda) (G-1) (u/u_*)$ ,  $(\lambda$  為孔隙率)。(17)式即為一維度之擴散方程式。

為利用(17)式，以解析防砂壩上游段之淤砂形態，江崎[6]設定邊界條件及起始條件如下：

$$x = 0, z = z_0 \quad (\text{堤高}) \dots\dots\dots(18-a)$$

$$t = 0, z(x, t)|_{t=0} = z(x, 0)$$

$$= S_0 x + z_0 e^{-\alpha x} = f(x) \dots\dots\dots(18-b)$$

各符號之涵義如圖 2 所示。

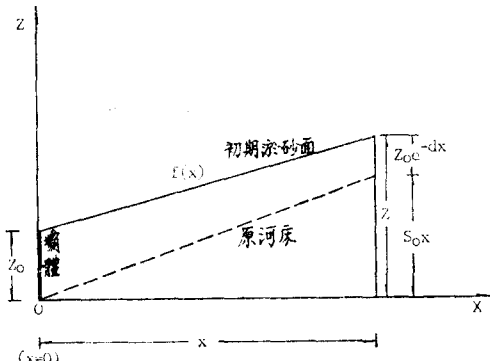


圖 2

根據上述條件可解出(17)式之解為

$$\zeta(x, t) = S_0x - z_0 \operatorname{erf}(x/\tau) + (z_0/\sqrt{\pi}) e^{\beta^2 \alpha t} \cdot \{ e^{-\beta x} \int_{-\infty}^{\infty} -x/\tau + \beta\tau/2 e^{-r^2} dr - e^{-\beta x} \int_{x/\tau + \beta\tau/2}^{\infty} e^{-r^2} dr \} \quad (22)$$

因  $z = \zeta + z_0$ ，故將此代入(22)式即得：

$$\begin{aligned} z(x, t) &= S_0x + z_0 \{ 1 - \operatorname{erf}(x/\tau) \} + \frac{z_0}{\sqrt{\pi}} e^{\beta^2 \alpha t} \{ e^{-\beta x} \int_{-x/\tau + \beta\tau/2}^{\infty} e^{-r^2} dr - e^{-\beta x} \int_{x/\tau + \beta\tau/2}^{\infty} e^{-r^2} dr \} \\ &= S_0x + z_0 \{ 1 - \frac{2}{\sqrt{\pi}} \int_0^{x/2\sqrt{\alpha t}} e^{-r^2} dr \} + \frac{z_0}{\sqrt{\pi}} e^{\beta^2 \alpha t} \{ e^{-\beta x} \\ &\quad \cdot \int_{-x/2\sqrt{\alpha t} + \beta\sqrt{\alpha t}}^{\infty} e^{-r^2} dr - e^{-\beta x} \int_{x/2\sqrt{\alpha t} + \beta\sqrt{\alpha t}}^{\infty} e^{-r^2} dr \} \end{aligned} \quad (23)$$

若將(23)式微分之，又可求得各斷面、各時刻之坡度  $S$  之推估式，即：

$$\begin{aligned} S &= \frac{\partial z}{\partial x} = S_0 - \frac{2}{\sqrt{\pi}} z_0 \left( \frac{1}{2\sqrt{\alpha t}} \right) e^{-(x/2\sqrt{\alpha t})^2} + \frac{z_0}{\sqrt{\pi}} e^{\beta^2 \alpha t} \\ &\quad \cdot \{ -\beta e^{-\beta x} \int_{-x/2\sqrt{\alpha t} + \beta\sqrt{\alpha t}}^{\infty} e^{-r^2} dr + \frac{e^{-\beta x}}{2\sqrt{\alpha t}} e^{-(-\frac{x}{2\sqrt{\alpha t}} + \beta\sqrt{\alpha t})^2} \\ &\quad - \beta e^{\beta x} \int_{x/2\sqrt{\alpha t} + \beta\sqrt{\alpha t}}^{\infty} e^{-r^2} dr + \frac{e^{\beta x}}{2\sqrt{\alpha t}} e^{-(\frac{x}{2\sqrt{\alpha t}} + \beta\sqrt{\alpha t})^2} \} \end{aligned} \quad (24)$$

又(24)式，當  $t \rightarrow \infty$  時，其坡度與原河床坡度一致，即

$$\left. \frac{\partial z}{\partial x} \right|_{t \rightarrow \infty} = S_0$$

### 三、相關文獻之探討

目前國內有關防砂堤上游面淤砂坡度之文獻，仍嫌缺乏，尤其考慮動態平衡者更屬有限。今分下列四部分簡單綜合並探討如下：

(一) 淤砂坡度與原河床坡度之比值 ( $S/S_0$ ) 之變化範圍：

$$z(x, t) = \frac{1}{\sqrt{\pi}} \left[ \int_{-x/\tau}^{\infty} f(x + \tau r) e^{-r^2} dr - \int_{x/\tau}^{\infty} f(-x + \tau r) e^{-r^2} dr \right] \quad (19)$$

式中  $\tau = 2\sqrt{\alpha t}$ 。今為解析簡便計，將  $z$  軸之 0 點位置移至圖 2 中之堤頂部，且設  $\zeta = z - z_0$ ，則(17)式變為：

$$\frac{\partial \zeta}{\partial t} = \alpha \frac{\partial^2 \zeta}{\partial x^2} \quad (20)$$

此時之邊界及起始條件分別改為下列二式：

$$u(0, t) = 0 \quad (21-a)$$

$$u(x, 0) = S_0x + z_0(e^{-\beta x} - 1) \quad (21-b)$$

利用(21-a)與(21-b)二條件式，並參照(19)式，即可求得(20)式之解為：

$$u(0, t) = 0 \quad (21-a)$$

$$u(x, 0) = S_0x + z_0(e^{-\beta x} - 1) \quad (21-b)$$

利用(21-a)與(21-b)二條件式，並參照(19)式，即可求得(20)式之解為：

若將(23)式微分之，又可求得各斷面、各時刻之坡度  $S$  之推估式，即：

$$\begin{aligned} S &= \frac{\partial z}{\partial x} = S_0 - \frac{2}{\sqrt{\pi}} z_0 \left( \frac{1}{2\sqrt{\alpha t}} \right) e^{-(x/2\sqrt{\alpha t})^2} + \frac{z_0}{\sqrt{\pi}} e^{\beta^2 \alpha t} \\ &\quad \cdot \{ -\beta e^{-\beta x} \int_{-x/2\sqrt{\alpha t} + \beta\sqrt{\alpha t}}^{\infty} e^{-r^2} dr + \frac{e^{-\beta x}}{2\sqrt{\alpha t}} e^{-(-\frac{x}{2\sqrt{\alpha t}} + \beta\sqrt{\alpha t})^2} \\ &\quad - \beta e^{\beta x} \int_{x/2\sqrt{\alpha t} + \beta\sqrt{\alpha t}}^{\infty} e^{-r^2} dr + \frac{e^{\beta x}}{2\sqrt{\alpha t}} e^{-(\frac{x}{2\sqrt{\alpha t}} + \beta\sqrt{\alpha t})^2} \} \end{aligned} \quad (24)$$

美國方面，綜合 Kaete, Rich, Amidon, Heede 等人調查分析結果顯示，細粒質者為 0.37，粗粒質者為 0.49，原河床坡度小於 14% 者為 0.66，一般言之，其範圍大致在 0.22~0.66 之間；若取各類別之平均值，則在 0.52~0.58 之間 [7]。日本方面，建設省一般仍以 0.5 做為設計之標準，惟對於系列式潛堤，則採用較低之比值。至於試驗資料



(a) 駒村 (1984) [15] :

以砂礫顆粒移動之遷移概率觀點導出溪床斜面變動之方程式如下：

$$\partial h / \partial t = a (\partial^2 h / \partial x^2) - b (\partial h / \partial x) - ch \quad \dots \dots \dots (32)$$

式中之  $a$ ，與(17)式中之  $\alpha$  代表同一涵義， $b$  則代表溪床侵蝕情況，如淤積（凸形）則  $b < 0$ ，冲蝕時（凹形）則  $b > 0$ ； $c$  則代表砂礫顆粒移動過程中之磨損情況。

設  $h(0, 0) = 0$ ，且  $[\partial h / \partial x]_{x=0} = S$ ，則可

求得其解為：

$$h = \frac{S(e^{n_1 x} - e^{n_2 x})e^{-\alpha' t}}{\sqrt{(b/a)^2 - 4(\alpha'/a)}} \quad \dots \dots \dots (33)$$

$$\text{式中, } n_1 = 1/2\{b/a + \sqrt{(b/a)^2 - 4(\alpha'/a)}\} \quad \dots \dots \dots (33-a)$$

$$n_2 = 1/2\{b/a - \sqrt{(b/a)^2 - 4(\alpha'/a)}\} \quad \dots \dots \dots (33-b)$$

$n_1, n_2$  之大小可由  $b$  加以判斷；例如  $b > 0$ ，則  $|n_1| > |n_2|$ 。

設防砂壠之高度為  $z_0$ ，則可利用上式改為：

$$h = z_0 + \frac{S \{ e^{n_1 x} - e^{n_2 x} \} (1 - e^{-\alpha' t})}{\sqrt{(b/a)^2 - 4(\alpha'/a)}} \quad \dots \dots \dots (34)$$

若  $b < 0$ ，則  $|n_1| < |n_2|$ ，此時（淤砂面上升過程）可將(34)式化為：

$$h = z_0 + \frac{S \{ (1 - e^{n_2 x}) + n_1 x \} (1 - e^{-\alpha' t})}{\sqrt{(b/a)^2 - 4(\alpha'/a)}} \quad \dots \dots \dots (35)$$

如繼續有泥砂充份供應，則其淤砂斷面最後將趨近於下列形式（即上式中  $t \rightarrow \infty$ ）：

$$h = z_0 + \frac{S \{ 1 - e^{n_2 x} \} + n_1 x}{\sqrt{(b/a)^2 - 4(\alpha'/a)}} \quad \dots \dots \dots (36)$$

又若  $b > 0$ ，則  $|n_1| > |n_2|$ ，此時  $e^{n_2 x} \approx 1 + n_2 x$ ，故壠體上游面之淤砂形態形成下降方式（凹形），其關係式變成：

$$h = z_0 + \frac{S \{ (e^{n_1 x} - 1) - n_2 x \} e^{-\alpha' t}}{\sqrt{(b/a)^2 - 4(\alpha'/a)}} \quad \dots \dots \dots (37)$$

當  $t \rightarrow \infty$  時，則變為  $h = z_0$ ，即淤砂面呈水平狀。因通常不太可能上游面完全無泥砂供應，故此情況與事實不能完全吻合。

以上各現象即表示，淤砂面實際之變動情形，隨時間而呈起伏形之變動，經過長時間之後，將可趨近於平衡狀態，但時間之長短，將視環境條件而定。

(b) 張慶武 (1986) [16] :

爲使江崎及駒村所推導之動態模式能應用於陡坡河道，其以(35)式中之  $\alpha'$  值估計壠體淤砂縱斷面達到平衡之期限  $T$ ，且以(24)式中，當  $x = 0$ ，即在壠頂處之坡度值：

$$(S)_{x=0} = \left( \frac{\partial z}{\partial x} \right)_{x=0} = S_0 - \frac{2}{\sqrt{\pi}} z_0 \beta e^{\beta^2 \alpha' T} \int_{\beta \sqrt{\alpha' T}}^{\infty} e^{-r^2} dr \quad \dots \dots \dots (38)$$

與原河床坡度兩者之平均值做爲設計淤砂坡度  $S_d$ ，或寫成下式：

$$S_d = -\frac{1}{2} [S_0 + (\partial z / \partial x)_{t=T}] = S_0 - \frac{1}{\sqrt{\pi}} z_0 \beta e^{\beta^2 \alpha' T} \int_{\beta \sqrt{\alpha' T}}^{\infty} e^{-r^2} dr \quad \dots \dots \dots (39)$$

又因一般防砂壠剛淤滿時，壠體頂端之淤砂坡度接近於零，即(38)式中再取  $t = 0$ ，則變爲：

$$(S)_{t=0} = \left( \frac{\partial z}{\partial x} \right)_{t=0} = S_0 - \beta z_0 \quad \dots \dots \dots (40)$$

而  $(S)_{t=0} = 0$ ，故得  $\beta = S_0/z_0$ 。以此  $\beta$  值代入(39)式，即可修正爲：

$$S_d = S_0 - \frac{S_0}{\sqrt{\pi}} e^{(S_0/z_0)^2 \alpha' T} \int_{(S_0/z_0) \sqrt{\alpha' T}}^{\infty} e^{-r^2} dr \quad \dots \dots \dots (41)$$

(1)式即為所求在陡坡河道上之堤體上游淤砂坡度修正模式。

(c) 山口 (1985) [4]:

在其所著之「防砂工學」中提到，利用水流運動方程式及輸砂公式，可導出動態情況下之平衡坡度，當其達到穩定後之淤砂坡度比值可寫成：

$$S = S_0 e^{-(1.8\beta - 0.7\alpha)x} \dots \dots \dots \quad (42)$$

式中， $\alpha$  為與河寬變化有關之係數， $\beta$  為泥砂粒徑隨距離變化之一常數，此二者均由現場資料決定。若以河寬比 ( $B/B_0$ ) 及粒徑比 ( $d/d_0$ ) 之關係表

之，則坡度比  $(S/S_0)$  可寫成：

$$\frac{S}{S_0} = \left( \frac{B}{B_0} \right)^{2/3} \left( \frac{d}{d_0} \right)^{4/3} \dots \dots \dots \quad (43)$$

此式可作為上游有充分但較穩定之泥砂供應時，推估平衡淤砂坡度比值之用。因無時間關係，故乃代表大致已達呈穩定狀態時之淤砂坡度。

#### (四) 各模式之適應性探討

### (a) 靜態平衡坡度公式之驗證與修正

利用筆者在臺東地區之泰安溪、文里溪與宜蘭地區之圓山溪諸坝體之實測資料，以靜態平衡公式，即 $\Delta$ 式驗證結果，如下列表1所示。

表 1 各溪段堤體上游淤砂坡度驗證表

壩名	實際淤砂 坡度 $S\%(\%)$	曼寧係數 $n$	平均粒徑 $d_m(mm)$	河寬 $B(m)$	單位寬流量 $Q/B(m^3/s/m)$	理論淤砂 坡度 $St\%(\%)$	相對誤差 $E\%(%)$
崩塌	11.10	0.0300	80.00	67.00	0.066	16.8	51.4*
泰安一	10.92	0.0300	98.00	37.10	0.130	12.5	14.4
泰安二	9.51	0.0297	87.88	42.80	0.122	11.5	21.0
泰安三	10.61	0.0279	79.31	42.00	0.129	8.6	18.9
防砂	5.81	0.0293	71.83	35.95	0.154	7.0	20.5
泰安六	7.86	0.0239	58.30	36.62	0.153	8.3	5.6
無名	6.50	0.0282	56.35	47.98	0.122	6.1	6.1
泰安七	8.60	0.0278	55.50	47.53	0.123	6.3	26.7
潛坝	5.90	0.0276	43.98	55.88	0.108	5.1	13.5
文里一	6.53	0.0240	57.00	69.40	0.142	6.5	11.8
文里二	6.10	0.0330	93.43	32.45	0.259	6.5	0.3
圓山一	4.64	0.0286	60.75	136.50	0.196	4.6	1.4

從表 1，可求得其平均相對誤差為 16%。若剔除其中已設置防砂壠之崩坍地部分（註 \* 者），則其誤差減至 12.76%，可見其估計效果尚佳。

若利用表 1 之資料，利用迴歸分析求得迴歸式為：

$$S = 0.0112(nq)^{-0.82}(d)^{0.975} \dots \dots \dots (44)$$

### (b) 動能平衡坡度公式之驗證

(i) 實驗值之驗證[16]:

利用筆者在日本京都大學防災研究所試驗之資料驗證結果簡述如下：

實驗條件如下列表 2，其初期河道斷面圖如圖 3 所示。

表2 實驗條件

組 別	A <sub>1</sub>	A <sub>2</sub>	A <sub>3</sub>	B <sub>1</sub>	B <sub>2</sub>	B <sub>3</sub>
原始(初期)坡度 S	1/100			1/50		
流 量 Q (ℓ/s)	0.714			0.714		
底 宽 B <sub>0</sub> (cm)	7			7		
側岸高 D <sub>0</sub> (cm)	7			7	10	
壩 高 (cm)	0	1.5	3.0	0	3.0	6.0

註：A<sub>0</sub> 約由  $h$  (平均水深) = 1.062cm.

$$B(\text{平均寬度}) = 22.069\text{cm};$$

A<sub>3</sub>組中，h(平均水深)=0.772cm，  
 B(平均寬度)=21.42cm，  
 λ(孔隙率)=0.4，  
 d<sub>m</sub>(平均粒徑)=0.515mm。

3.057,  $u_{*c}^2 = 8.41 d^{11/32} = 3.03 \text{cm}^2/\text{s}^2$  [由岩垣公式, 見參考文獻(17)],  $F(u_{*c}^2/u_{*e}^2) = 0.92$ ,  $\alpha = 9.1 \times 10^{-4}$ ,  $\beta = 0.23$ ,  $Q' = \beta \sqrt{\alpha t} = 6.9 \times 10^{-3} \sqrt{t}$ ,  $(S)_{\frac{t}{x}=0} = 0.0065$ , 故由(38)式, 求得:

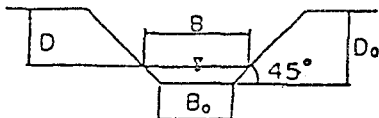


圖 3 初期河道斷面圖

A<sub>2</sub>及 A<sub>3</sub>二組，填體剛淤滿時之時間分別為7分及33分30秒。

由上列資料可求得：

$$A_2 \text{組: } z_0 = 0.015m, u_* = \sqrt{gh} S_0 = 3.226 \text{ cm/s}, u = 30.449 \text{ cm/s}, n = 0.0158, \phi =$$

$$\frac{(S)_{x=0}}{S_0} = 1 - 0.389 e^{Q'^2} \int_{Q'}^{\infty} e^{-r^2} dr$$

.....(45-a)

**A<sub>3</sub>**組：同理，代入各資料求得：

$$\frac{(S)_x=0}{S_0} = 1 - 0.769 e^{Q'^2} \int_{Q'}^{\infty} e^{-r^2} dr$$

.....(45-b)

今以  $S/S_0$  為縱座標， $Q'$  為橫座標，繪出 (45—a) 及 (45—b)二式之曲線，並以實驗值點上，其結果如圖 4 所示。

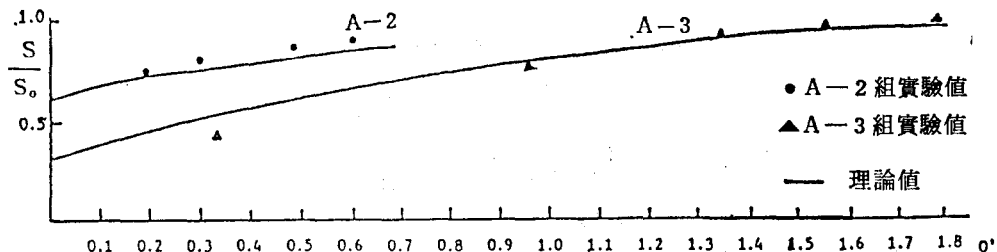


圖 4 A-2、A-3 組防砂堤頂端淤砂坡度隨時間之變化

(ii) 實測值之驗證（國外部分）：

日本當願寺川本宮防砂堤之資料[11]，如下列表 3 及圖 5 所示。

表 3 本宮防砂壩淤砂坡度之變化

	淤砂坡度		與原河床之坡度比	
	27.7K 下游	27.7K 上游	27.7K 下游	27.7K 上游
1924	$\frac{1}{42}$	$\frac{1}{42}$	—	—
1939	$\frac{1}{230}$	$\frac{1}{43}$	5.76	1.02
1944	$\frac{1}{104}$	$\frac{1}{45}$	2.48	1.07
1952	$\frac{1}{80}$	$\frac{1}{55}$	1.9	1.30
1969	$\frac{1}{65}$	$\frac{1}{51}$	1.55	1.22
1981	$\frac{1}{73}$	$\frac{1}{56}$	1.74	1.34

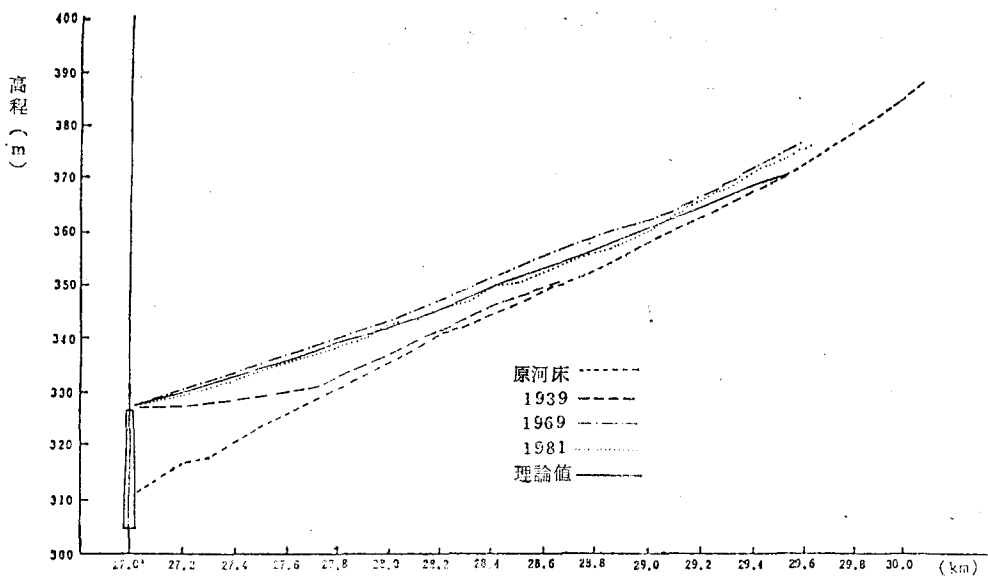


圖 5 本宮壩上游溪床縱斷面隨時間之變化 (距出海口之水平距離)

將各數據代入，可求得  $(S)_{x=0} = 4.38 \times 10^{-4} = 0.024 - \beta \times 22$  [(40式)]，由此求得  $\beta = 8.9 \times 10^{-4}$ ， $\alpha = 3.69 \times 10^4$ ，故得  $Q' = \beta \sqrt{\alpha t} = 0.171 \sqrt{t}$ ，利用(38式)，並略加改變，可得：

$$\frac{(S)_{x=0}}{S_0} = 1 - 0.922 e^{Q'^2} \\ \left[ \int_0^\infty e^{-r^2} dr - \int_0^{Q'} e^{-r^2} dr \right] \dots (40)$$

將此式及表 3 中之數據描繪於圖上，則得下圖 (圖 6)。

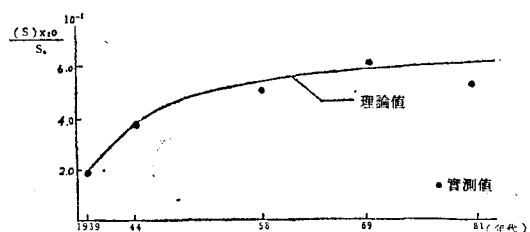


圖 6 本宮防砂壩頂端淤砂坡度隨時間之變化

再利用(38式)，將  $(S)_{x=0}$  改寫成  $S_0$ ，且將當時之情況視為暫時之平衡狀態，即設  $\alpha' = 0$ ，則(38式)

$$h = 326.55 + 370.9 \left\{ \left( 1 - e^{-8.25 \times 10^{-5} x} \right) - 2.75 \times 10^{-5} x \right\} \left( 1 - e^{-8.37 \times 10^{-5} t} \right) \dots (49)$$

可改寫為：

$$h = \frac{S_0}{(b/a)} [e^{(b/a)x} - 1] \dots (47)$$

若以溪流上游部岩盤露出地點，即無溪床變動之安定地點為基點  $(x_0, h_0)$ ，假設其附近之平均坡度即為  $S_0$ ，則可將(47式)改為：

$$h = h_0 + \frac{S_0}{(b/a)} [e^{(b/a)(x-x_0)} - 1] \dots (48)$$

再利用本宮壩之資料，即在  $x = 3,000$ m 處， $h_0 = 388$ m， $S_0 = 0.0295$ ； $x = 0$  時， $h = 310$ m，求得  $b/a = 1.1 \times 10^{-4}$ ，代入(48式)得：

$$h = 388 + \frac{0.0295}{1.1 \times 10^{-4}} \\ \cdot [e^{1.1 \times 10^{-4}(x-3000)} - 1] \dots (48')$$

'48'式 (即理論曲線) 與實測值之關係如圖 7 所示。

圖 7 中，理論曲線與現場實測值頗為吻合，惟此式是否適合於國內之溪流，因目前尚無長期之實測資料可資驗證，故仍待日後進一步求證。

又其隨時間之變化，由(35式)求得為 (計算過程略)：

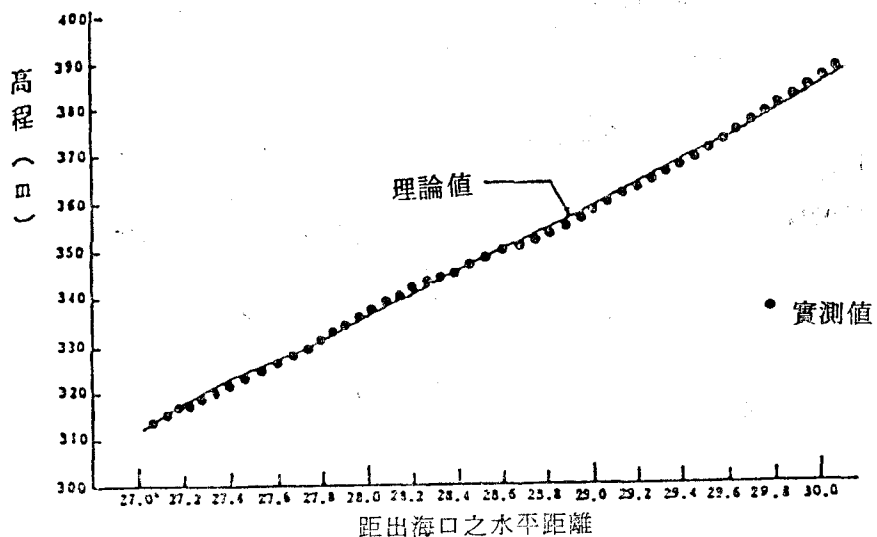


圖 7 溪床縱斷面形狀

當  $t \rightarrow \infty$  (達穩定狀態) 時，則可簡化為：

$$h = 326.55 + 370.9 \{ 1 - e^{-8.25 \times 10^{-5} x} \} - 2.75 \times 10^{-5} x \quad \dots \dots \dots \quad (49)$$

此式（理論式）所描繪之曲線，即為圖 5 中之實線部分。

此外，1981年本官塹之淤砂面曲線設為  $g(x)$ ，原河床斷面〔即(48)'式〕設為  $h(x)$ ，理論河床曲線設為  $f(x)$ 〔即(49)式〕，則其淤砂量之相對誤差為：

$$E = (|\text{實際淤砂量} - \text{理論淤砂量}|) / |\text{實際淤砂量}|$$

$$= \frac{\left| \int_0^L [g(x) - h(x)] \cdot B(x) dx - \int_0^L [f(x) - h(x)] \cdot B(x) dx \right|}{\left| \int_0^L [g(x) - h(x)] \cdot B(x) dx \right|} = 3.85\%$$

由此可知，其推估效果相當良好。

### (iii) 實測值之驗證（國內部分）：

利用修正後之平衡坡度估算模式——(41)式，推估臺灣東部之陡坡河道文里溪之一號塹與泰安溪之三號塹淤砂坡度，其結果與實測值相當接近。驗證過程簡述如下：

#### (1)文里溪一號塹：

68年3月9日完工，70年初淤滿，迄今將近六年，據調查結果，大致已呈穩定狀況。其原河床坡度  $S_0 = 8.47\%$ ，塹體上游實測淤砂坡度為  $6.53\%$ 。

$n = 0.024$ ， $d_m = 57.2\text{mm}$ ， $B = 69.4\text{m}$ ，河溪主流長  $2,820\text{m}$ ，高程差  $493\text{m}$ ，最上游河床坡度為  $0.5$ ，平均水深  $h = 0.058\text{m}$ 。

利用(48)式求得  $b/a = 0.001$ ，再根據駒村之假設[15]，

$$(b/a)^2 - 4(\alpha'/a) = 1/4(b/a)^2 \dots \dots \quad (50)$$

求得  $\alpha' = 0.54$ ，故知約 7 年可達呈平衡。又另求得  $u_*^2 = 481\text{cm}^2/\text{s}^2$ ， $u_{*c}^2 = 461\text{cm}^2/\text{s}^2$ ， $F(u_*^2/u_{*c}^2) = F(1.1) = 0.1$ ， $u = 1.67\text{m/s}$ ， $u_*/u = 0.13$ ， $\phi = 0.63$ ， $\alpha = 371$ ， $\beta = (S_0/z_0) = 0.011$ ， $Q' = \beta \sqrt{\alpha t} = 0.22\sqrt{t}$ ，由以上各值，並用  $T = 7$  年代入(39)式或(41)式永得  $S_a = 6.03\%$ 。此值與實測之坡度  $6.53\%$  相當接近。若以一般方法計算，原河床坡度為  $8.47\%$ ，其半則為  $4.24\%$ ，此與實測值  $9.53\%$ ，相差甚遠。

#### (2)泰安溪三號塹：

68年5月完工，69年夏淤滿，淤滿3年後（72年）時，大致已呈穩定狀態。該塹原河床坡度  $10.46\%$ ，上游淤砂坡度（實測）為  $7.86\%$ ， $n = 0.0239$ ，塹高  $H = 6\text{m}$ ， $d_m = 58.3\text{mm}$ ， $B = 36.6\text{m}$ ，平均水深  $h = 9.1\text{cm}$ 。根據以上數據求

得  $u_*^2 = 932 \text{cm}^2/\text{s}^2$ ,  $u_{*c}^2 = 471 \text{cm}^2/\text{s}^2$ ,  $F(u_*^2/u_{*c}^2) = 0.68$ ,  $u = 2.76 \text{m/s}$ ,  $u_*/u = 0.11$ ,  $\alpha = 4250$ ,  $\beta = 0.017$ ,  $Q' = \beta \sqrt{\alpha t} = 1.1 \sqrt{t}$ 。因  $T = 3$  年, 故代入(4)式求得  $S_d = 8.7\%$ 。此與實測值  $7.86\%$  亦大致接近。若以原河床坡度之半計算, 即為  $1/2 \times 10.46\% = 5.23\%$ , 此值與實測值則相去甚遠。

#### 四、結論

根據以上分析及探討, 獲得下列結論:

(一)防砂壩上游之淤砂坡度, 因影響因子衆多, 故欲正確推估, 相當不易, 尤其對於陡坡河道者, 更為困難。本文中, 僅就現有之文獻(包括筆者本人), 做一概略性之歸納及探討。由於國內目前現場之實測資料極為缺乏, 難以進行進一步之分析及驗證, 故仍難以建立可靠之推估模式(公式), 以應防砂壩規劃及設計上之需要, 因此, 亟須結合實用機構及試驗研究單位之力量, 共同建立完整之資料, 以便分析, 並進而建立正確可靠之估算模式。

(二)文中所提各項模式, 除少數對於臺灣上游河道(陡坡、粗顆粒)之適應性, 經初步驗證結果尚屬可取而外, 多數仍待進一步分析及修正。今列舉數項研究方向, 以供參考:

- (1)淤砂坡度比值( $S/S_0$ )似仍與  $S_0$  有關, 但在何種條件下呈正比, 何種條件下呈反比關係(即  $S_0^n$  中,  $n$  何時為正, 何時為負), 值得研究。
- (2)大、中、小型壩體之淤砂形態必然不同, 應分類進行分析, 並加以比較探討, 以瞭解其相異性。
- (3)各系列壩間之淤砂坡度問題(坡度受干擾後之變化), 亦為一重要之研究課題。
- (4)淤砂坡度達到穩定之期限問題, 有深入研究之必要。
- (5)潛壩或固床工之安定淤砂坡度之決定, 亦屬同一研究範圍, 可理論予以分析。
- (6)一河系之防砂壩系統規劃研究, 不應只考慮一座壩體本身之沖淤變化, 應從上至下, 考慮整條河系, 如此規劃之結果, 方能收到防砂效果。例如中下游河道, 應充分與上游之防砂工程計畫配合, 否則難以達到防洪及防砂之目的。

#### 五、參考文獻

- (1) K. Subramanya, Flow in Open Channels, Vols. 1 & 2, 1982, P. 71。
- (2) 駒村富士彌, 治山、砂防工學, 日本森北出版株式會社, 1978, p. 55。
- (3) 何智武, 臺灣河川上游集水區之泥砂來源與控制, 中華水土保持學報, 第15卷第1、2期, pp. 15~25。
- (4) 山口伊佐夫, 現代林學講義, 4, 砂防工學, 日本地球社, 1985, pp. 197, 210。
- (5) Yoshito Tsuchiya (土屋義人), Estimation of River Bed Aggradation due to Dam, Proc. 13th, IAHR, pp. 297~322, 1969。
- (6) 江崎一博, 砂防ダムの堆砂縦断形狀について, 新砂防 35(4), pp. 27~81, 1983。
- (7) Woolhiser, D. A. & Lenz, A. T., Channel Gradients above Gully-Control Structures, Journal of Hydraulics Division, ASCE. Vol. 91, No. HY3, pp. 165~187, 1965。
- (8) Tani, I., Debris Profiles above Sand Barriers, Shin-Sabo, No. 7, p. 25(J), 1952。
- (9) Kimura, K., A Method for Calculation of Accumulating Gradient, Shin-Sabo, No. 23, pp. 16~18 (J), 1956。
- (10) Sugio (杉尾), Debris Slopes above Sand Barriers, Journal of Hydraulic Research, Vol. 11, No. 3, 1973。
- (11) 日本建設省河川局砂防部砂防課及土木研究所研究報告, 砂防施設とその效果に関する研究, 1982。
- (12) 臺灣省山地農牧局, 臺灣省防砂壩工程調查報告, 民國71年3月, pp. 1, 10。
- (13) 王士紘, 攔砂壩上游淤砂坡度之研究, 臺灣大學土木工程研究所碩士論文, 民國63年6月。
- (14) 李榮珍, 臺灣地區蝕溝系統處理方法之分析探討, 中興中學水土保持學研究所碩士論文, 民國73年6月, pp. 22~27。
- (15) 駒村富士彌, 溪床の縦断形狀形成と砂防ダムの堆砂面形狀變動の相互關係, 新砂防, Vol.37, No. 2(35), 1984, pp. 6~13。
- (16) 何智武, 防砂壩防蝕機能之試驗研究, 第三屆水利工程研討會論文集, 民國75年5月30、31日, pp. 393~407。